

(c) DFP法

$$d^{(m)} = -H^{(m)} \nabla F(x^{(m)})^t$$

ここで、 $H^{(m)}$ は $H^{(0)}$ ・ Π_r (r 次元単位行列で、 r は利用されている経路数に等しい)より初めて逐次更新されていく行列で正値行列である。 H は m 回の反復で2次関数のヘッセ行列の逆行列に等しくなることが知られている。しかし、経路交通量を変数にした均衡問題のヘッセ行列は半正値であることが判っており、したがって、この方法が常にうまくいくとは限らない。よって、 H の行列式の値を常にチェックして、その値がゼロになるときは勾配法に変更する方法を用いる。 H の行列式の値は次式で与えられる⁹⁾。

$$|H^{(m)}| = |H^{(m-1)}| \cdot \left\{ (\Delta x^{(m-1)})^t \Phi^{(m-1)} / (\Phi^{(m-1)})^t H^{(m-1)} \Phi^{(m-1)} \right\}$$

$$\Delta x^{(m-1)} = x^{(m)} - x^{(m-1)} \quad \Phi^{(m-1)} = \nabla F(x^{(m)}) - \nabla F(x^{(m-1)})$$

3. 解法の比較・検討

上述の方法を図-1に示すネットワークに適用し三者の比較・検討を行なう。

図-1においては、互いに逆向ききの有向リンクを無向リンクとして表示してある。逆需要関数は線形関数を用い、リンクパフォーマンス関数には次式に示すBPR関数を用いる。

$$B_j(y_j) = B_j(0) \{1 + 0.15 (y_j / b_j)^4\}$$

一般計算手順におけるステップ⑤の直線探索法には、より正確な方法であるといわれるAlmijoの方法と他に黄金分割法を用いる。

各々の手法を用いた場合の結果について、等時間パターン¹⁰⁾の出現するODペア(1-3)、(1-4)の値をTable.1に示す。ところで、Almijoの方法を用いた場合の結果は、Table.1の左側3つに相当するが、

これより明らかのように、この場合完全な収束値に至らない。すなわち、Almijoの方法ではこれ以上解を改良することが不可能であった。完全な収束値を得た黄金分割法を用いた結果を比較のためTable.1の右端に与えた。

まず、収束性について考察する。収束回数¹¹⁾の点ではDFP法が勾配法、F-W法に比べてはるかに少ない。また、目的関数の値の比較からもDFP法はより最適解に近い値を与えていることは明らかである。

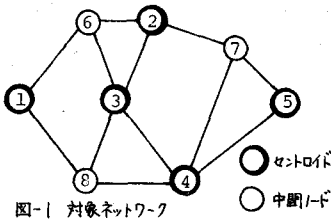
経路走行時間の等時間性という観点からは、F-W法の方が秀れ、続いてDFP法、勾配法という結果を得た。ただし、黄金分割法を用いた勾配法では完全な等時間性が成立している。

本稿ではF-W法、DFP法に黄金分割法を用いた計算結果は報告できなかったが、収束性の点では当初予想したとおり、DFP法が秀れていることが明らかにされた。しかし、DFP法は行列 H の記憶にかなりの計算機容量を必要とするため実用的にはまだ問題が多く、改良の余地がある。黄金分割法を用いたF-W法、DFP法については講演当日に報告する予定である。

(参考文献)

- ① 加藤・密城：交通ネットワークにおける需要均衡問題とその解法，土木学会論文報告集(1979)
- ② Gartner, N.H.: Analysis and control of transportation networks by Frank-Wolfe decomposition, Proc. of the 7th Inter. Symp. on Transportation and Traffic theory (1977)
- ③ S.L.S. ジョコビ代：非線形最適化問題の反復解法<増風館>

Table - 1 計算結果



Route No.	Obj. f.	Gradient (It.142)		F-W method (It. 67)		DFP method (It. 42)		Gra.-Gold (It.238)	
		1-3	1-4	1-3	1-4	1-3	1-4	1-3	1-4
1	Route cost	27.7	37.6	27.5	37.5	27.6	37.5	27.4	37.4
	Path flow	92.3	169.6	82.7	167.0	85.5	164.9	82.9	167.6
	Gradient	0.2	0.1	0.4	0.7	0.0	1.1	0.0	-0.0
2	Route cost	27.2	37.4	27.4	37.5	27.3	37.5	27.4	37.4
	Path flow	183.0	155.7	196.6	164.3	190.8	161.3	193.1	158.2
	Gradient	-0.2	-0.1	0.4	0.6	-0.1	-1.1	-0.0	0.0
O D flow		275.3	325.2	279.3	331.2	276.6	326.2	276.0	325.8